

# 噴气发动机壳体零件强度計算

溫俊峯 編

北京航空学院

1964.3

符号說明

- $X Y Z$  直角座标  
 $R_1 R_2$  壳体中面在  $XZ$  及  $YZ$  面上的曲率半徑或为錐壳两端之半徑。  
 $h l$  壳的厚度和长度。  
 $q P$  分佈載荷之强度和压力。  
 $E G$  壳体材料之拉压彈性模數及剪切模數。  
 $\gamma \nu$  壳体材料之比重及波桑比。  
 $\sigma_1 \sigma_2 \sigma_3$  为与  $X Y Z$  軸平行的正应力。  
 $\tau_{12} \tau_{13} \tau_{23}$  直角座标中的剪应力。  
 $u v w$  中面在  $X Y Z$  各向的位移。  
 $\epsilon_x \epsilon_y \epsilon_z$  为  $X Y Z$  方向沿壳厚任一点的正应变。  
 $\epsilon_{12} \epsilon_{21} \gamma_{12}$  中面在  $X Y$  方向正应变及剪应变。  
 $\kappa_1 \kappa_2 \kappa_{12}$  中面在  $X Z$  及  $Y Z$  面內曲率变化及扭曲率。  
 $B D$  壳体之抗拉压和抗弯剛度。  
 $M_1 M_2 H$  垂直  $X$  和  $Y$  軸二截面单位长上的弯矩和扭矩。  
 $N_1 N_2$  为垂直  $X$  和  $Y$  軸二截面单位长上橫剪力。  
 $T_1 T_2 S$  为  $X Y$  方向单位长上之正內力及平剪力。  
 $Q_x Q_y Q_z$  外載荷在  $X Y Z$  方向之分量。  
 $n m$  分别为失穩时沿园周及軸向形成之波數和半波數。  
 $B_1 B_2$  加强壳在軸向和切向之折合抗拉剛度。  
 $\nu_1 \nu_2$  正交各向异性壳在  $X Y$  方向之波桑系数。  
 $F f l f$  加强肋断面积及跨度。  
 $J_f J^*$  分别为加强肋断面繞重心及加强肋与壳体一起繞共同重心之慣性矩。  
 $\theta \varphi \alpha$  分别为旋轉形壳經綫面和平行园的位置角及錐壳之半錐頂角。  
 $\omega$  及  $t$  分别为壳体振动角頻率及時間。

### 說 明

噴气发动机壳体零件强度計算 是一門新的課程。因初学水平有限及編写時間非常倉促，其中不免有錯誤和不当之处，敬請有关同志和兄弟单位多加指正。本讲义可供空气噴气发动机設計专业教学或参考用。

## 目 录

## 符号說明

## 第一章 壳体一般理論

- § 1—1 前言 . . . . .
- § 1—2 基本概念和假設 . . . . .
- § 1—3 壳体的变形 . . . . .
- § 1—4 內力和內矩 . . . . .
- § 1—5 內力內矩与应变的关系 . . . . .

## 第二章 园柱薄壳之应力計算

- § 2—1 平衡方程式 . . . . .
- § 2—2 位移与变形之关系 . . . . .
- § 2—3 无知理論之应用 . . . . .
- § 2—4 軸对称变形的园柱壳 . . . . .
- § 2—5 变厚度园柱壳 . . . . .
- § 2—6 温度对园柱薄壳应力之影响 . . . . .

## 第三章 旋轉形壳基本理論及錐形壳应力計算

- § 3—1 旋轉形壳之平衡方程 . . . . .
- § 3—2 旋轉形壳軸对称的变形 . . . . .
- § 3—3 解旋轉形壳軸对称变形問題 . . . . .
- § 3—4 园錐形壳之应力計算 . . . . .

## 第四章 薄壳之穩定性計算

- § 4—1 园柱薄壳之穩定方程式 . . . . .
- § 4—2 单一載荷作用下的园柱壳 . . . . .
- § 4—3 复合載荷作用下的园柱壳 . . . . .
- § 4—4 帶有加强肋的园柱薄的壳 . . . . .
- § 4—5 园錐壳的穩定性計算 . . . . .

## 第五章 园柱薄壳之振動計算

- § 5—1 振動方程式 . . . . .
- § 5—2 自振頻率之确定 . . . . .

§ 5—3 外載对自振頻率的影响 ·····

第六章 发动机壳体零件的强度与設計

§ 6—1 壳体机匣的負荷分析 ·····

§ 6—2 强度計算状态的選擇 ·····

§ 6—3 安全係数的确定 ·····

§ 6—4 薄壳零件强度計算的一般方法 ·····

## § 1, 1 前 言

本課程之目的在於利用薄壳理論对发动机壳体零件进行强度計算。薄壳理論是现代彈性力学中最具有实际意义的部分之一。由於薄壳結構具有重量輕强度好的特点。所以在建築、造船和鍋炉制造等現代工程技術中，特別在航空上得到日益广泛的应用。飞机設計中採用金属薄壳結構已有三十多年的历史。並且給飞机結構带来一次很大的更新。因为減輕重量在航空上具有更重要的意义。航空发动机大力採用薄壳結構显然成为发展的趨勢，所以近年来薄壳理論在航空上之应用和发展也更加迅速。

在航空燃气渦輪发动机中，从进口整流罩、压气机渦輪机匣、转子鼓环整个的燃燒室加力燃燒室和尾噴管部件及其他承力机匣等都是薄壳零件。冲压发动机幾乎全部採用了薄壳結構。因之，在目前噴气发动机强度計算中除了盘、軸和葉片等大零件及一些連結件和管路系統等小零件外，所有的其他零件都作为薄壳問題来处理。

薄壳結構所以在航空发动机上得到如此快的发展和广泛的应用，主要有以下幾方面的原因：

(1)发动机零件採用薄壳結構，足以保証对零件的强度和剛度等工作要求当壳必須加强时，目前已有足够的經驗採取加强措施。在高温工作的条件下，薄壳零件更容易減輕热应力合理承担負荷。

(2)薄壳零件为一空間結構能改善受力状态，更有利於發揮材料的效用。並且使零件承载能力更为有效。因而它能最大限度地滿足重量輕的要求。

(3)发动机工作在原理上要求形成軸对称的气流通道，因而其零件的幾何形状最适於做成旋轉形壳体，这样在零件受力方面也最合理。实际上，发动机大多数零件是园柱形或接近园柱形，亦有相当数量的零件为园錐形，或接近於园錐形，这些最簡單的旋轉形壳体，制造亦很方便。

(4)薄壳零件最便於利用成型鋁材，既能節約使用材料，並且鋁材之机械性能亦好。

(5)薄壳零件一般採用冲压焊接工艺方法。而代替了大量昂貴的切削加工並且不需要專門的毛坯，使生产成本大大降低。

为了进一步研究发动机构造，不斷改进其設計，特别是为了薄壳零件工

作之可靠性並尽可能減輕发动机重量，研究薄壳理論是非常必要的。一般來說；薄壳零件强度計算的內容包括以下三个方面：

(1)薄壳之应力計算：其目的在於確定零件之应力值。

(2)薄壳之穩定性計算：其目的在於確定零件之临界載荷。

(3)薄壳之振动計算：其目的在於確定零件之自振頻率。

当求得以上各值时，从已知零件的极限应力、实际載荷及强迫振动頻率則可确定零件的安全系数，因此，可最后判定零件工作之可靠程度。

## § 1, 2 基本概念与假設

(一)一些定义：

壳体 在彈塑性力学中，凡是由曲面所包住的物体，其一个方向的尺寸远远小於其他方向的尺寸者，均称为“壳体”。

壳体两表面間的距离称为厚度。亦即厚度远小於其他尺寸的物体。

平板可看为壳体中当其曲率半徑为无穷大时的特殊情况。

中面 由距壳体两表面等距离的点所組成的面称为“中面”。壳体之任何形状可以用中面的形状和厚度的变化規律来表示。

薄壳 当壳体之厚度与中面主曲率半徑之比值远小於1时称为“薄壳”

$$\text{即 } \frac{h}{R_i} \ll 1 \quad (a)$$

上式中  $h$ —为壳体厚度，

$R_i$ —为中面的主曲率半徑。因曲面上任一点都有两个主曲率半徑，即为最大和最小的曲率半徑，故  $i = 1, 2$ 。

在利用薄壳理論进行实际工程計算中，当壳体厚度与中面主曲率半徑比值的最大值为：

$$\left(\frac{h}{R_i}\right)_{\max} \leq \frac{1}{20} \quad (b)$$

这时  $\frac{h}{R_i}$  和 1 相比而略去不計所带来的誤差不大於 5%。这在工程上通常是允許的。故在以后理論計算中，將  $\frac{h}{R}$  与 1 相比而忽略不計。为了确定起

見，我們把滿足不等式 (b) 的壳体称为薄壳。目前工程技術中实际所遇到之絕大多数壳体都在下列範圍內：

$$\frac{1}{1000} \leq \frac{h}{R} \leq \frac{1}{50} \quad (C)$$

就是說都屬於薄壳之列。下面我們舉兩個空氣噴氣發動機為例：

航空發動機型別	零件名稱	壁厚 $h$	半徑 $R$	比值 $h/R$
小型渦輪噴氣發動機 $PD-10$	壓氣機機匣	5 毫米	270 毫米	$\sim \frac{1}{50}$
大型沖壓噴氣發動機 $PD-018$	燃燒室外壳	1 毫米	1000 毫米	$\frac{1}{1000}$

以上所舉兩型發動機的零件，一般來說，大致可看做目前空氣噴氣發動機壳体零件  $\frac{h}{R}$  比值的兩個極限情況。這兩個極限情況又都在上述薄壳的工程範圍內。可見利用薄壳理論進行航空噴氣發動機壳体零件強度計算是完全允許的。因而，研究薄壳理論對航空發動機設計來說，是有很大的實際意義的。

### (二) 基本假設

為了使問題簡化，像在材料力學中研究樑之彎曲時有平剖面假設一樣，研究壳体採用了克希霍夫—勒夫假設：

(1) 變形前垂直於中面的直纖維變形後還是直的，並且仍垂直於撓曲後的中面，且其長度不變。

(2) 平行於中面各層間的法向應力與其他應力相比較可以忽略不計。

採用了以上這些假設，等於把壳體的問題簡化為只研究其中面的變形。正如採用平剖面假設把樑的彎曲問題化為其中性軸綫的撓曲一樣。以上的假設亦說明垂直中面任何平面內之剪應變及沿厚度方向之正應變為零。可以證明這些假設帶來的誤差與 1 相比具有  $\frac{h}{R}$  的量級。這對薄壳來說在工程上是允許的。

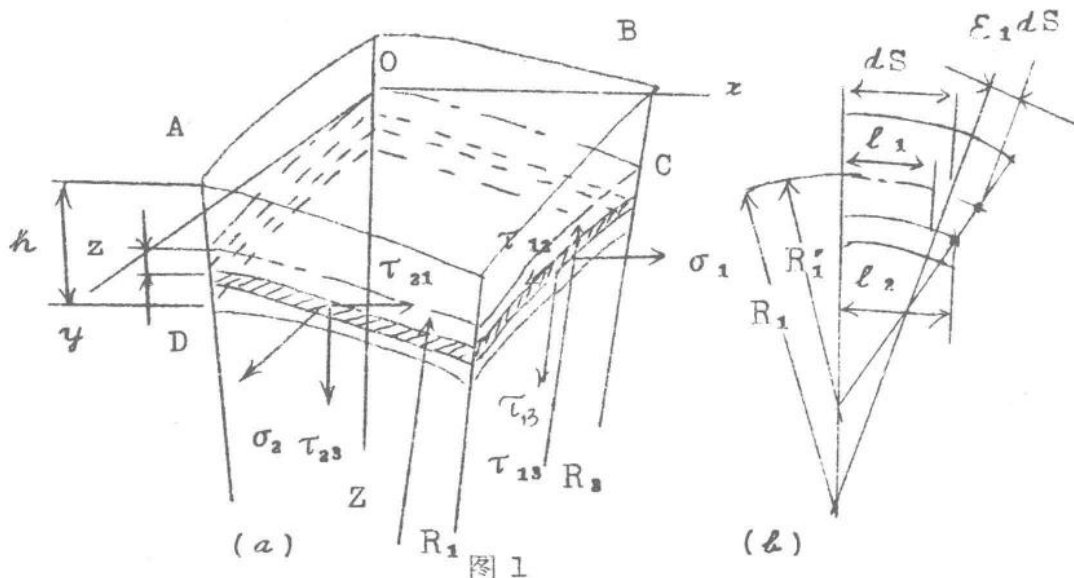
在以後各章論述中，除特別指明外，均認為壳体材料為各向同性，並且服從虎克定律，而且其各點的位移較厚度小得多，即按小變形綫性理論來研究壳体。只有當研究壳体穩定性問題時考慮了中面撓曲對平衡條件的影響，



即考虑了大变形之部分影响。当研究带有加强肋壳体稳定性问题时，认为材料是正交各向异性。当壳体超出弹性极限工作时虎克定律才不适用。

### § 1.3 薄壳的变形

当壳体承载时，会产生拉伸、剪切、弯曲或扭转等变形。为了研究其变形情况并进一步分析其内力，从壳体上用两对垂直于中面并包含主曲率的相邻平面切一无限小微体。其相对座标如图（图 1）所示： $x$  及  $y$  轴为中面  $O$  点上分别为两主曲率面内之切线方向。 $Z$  轴为垂直于中面方向按右手准则向曲率中心为正。其中  $R_1$  及  $R_2$  分别为  $XZ$  及  $YZ$  平面内的主曲率半径，而  $R'_1$  及  $R'_2$  为微体变形后的主曲率半径。



若命  $\epsilon_1$  及  $\epsilon_2$  分别表示中面在  $X$  及  $Y$  方向之正应变。 $\gamma_{12}$  为中面之剪应变。则平行于中面并距中面为  $Z$  任一薄层上的应变  $\epsilon_x$   $\epsilon_y$  及  $\gamma_{xy}$  可求得如下：

如（图 1 b）所示： $dS$  为中面在  $X$  方向的弧长， $l_1$  及  $l_2$  分别为微体任一层在  $X$  方向变形前后的弧长。则该层在  $X$  方向的相对变形可用下式表示：

$$\epsilon_x = \frac{l_2 - l_1}{l_1} \quad (a)$$

从几何相似关系可知：

$$\begin{aligned} \ell_1 &= dS \left( 1 - \frac{Z}{R_1} \right) \\ \ell_2 &= dS(1 + \varepsilon_1) \left( 1 - \frac{Z}{R_1'} \right) \end{aligned} \quad (b)$$

若將  $\ell_1$  及  $\ell_2$  之值 (b) 式代入 (a) 式，經整理後則得

$$\begin{aligned} \varepsilon_x &= \frac{dS(1 + \varepsilon_1) \left( 1 - \frac{Z}{R_1'} \right) - dS \left( 1 - \frac{Z}{R_1} \right)}{dS \left( 1 - \frac{Z}{R_1} \right)} \\ &= \frac{\varepsilon_1}{1 - \frac{Z}{R_1}} - \frac{Z}{1 - \frac{Z}{R_1}} \left( \frac{1 + \varepsilon_1}{R_1'} - \frac{1}{R_1} \right) \end{aligned} \quad (c)$$

在上式中考慮到薄殼理論及小變形的假設條件，並且與 1 相比忽略  $\frac{Z}{R}$  及  $\varepsilon_1$  各項後，則 (c) 式成為

$$\varepsilon_x = \varepsilon_1 - Z \left( \frac{1}{R_1'} - \frac{1}{R_1} \right) \quad (d)$$

若命  $\mathcal{X}_1$  及  $\mathcal{X}_2$  分別為 XZ 及 YZ 平面內之曲率變化， $\mathcal{X}_{12}$  為中面扭曲率則有以下之表达式

$$\mathcal{X}_1 = \frac{1}{R_1'} - \frac{1}{R_1} \quad (e)$$

將  $\mathcal{X}_1$  之值 (e) 式代入 (d) 式，則得平行中面各層在 X 方向的應變沿厚度的變化公式。同理可以求得其他應變  $\varepsilon_y$  及  $\gamma_{xy}$  之表达式：

$$\varepsilon_x = \varepsilon_1 - Z \mathcal{X}_1 \quad (1.1a)$$

$$\varepsilon_y = \varepsilon_2 - Z \mathcal{X}_2 \quad (1.1b)$$

$$\gamma_{xy} = \gamma_{12} - 2Z \mathcal{X}_{12} \quad (1.1c)$$

#### § 1.4 內力和內矩

如 (圖 1 a) 所示。由壳体切出之微元體中任一薄層的應力  $\sigma_1$  及  $\sigma_2$  分別為在 X 及 Y 方向之正應力， $\tau_{12}$  及  $\tau_{21}$  為平行中面之剪應力。 $\tau_{12}$  及  $\tau_{22}$  分別為 YZ 及 XZ 平面內垂直中面之剪應力。圖上所指示的為各應力的正方向。在薄殼理論中利用內力和內矩比直接用應力更為方便，所以求

得內力和內矩之表达式是必要的。如(图2)所示：为作用於薄壳微体上的各內力、內矩及其方向。微体之相对座标  $X$   $Y$  及  $Z$  如(图2 a)所示。在(图2 b)中  $T_1$  及  $T_2$  为正向力。  $S_1$  及  $S_2$  为平剪力，  $N_1$  及  $N_2$  为横剪力。在(图2 c)中  $M_1$  及  $M_2$  为弯矩。  $H_1$  及  $H_2$  为扭矩。

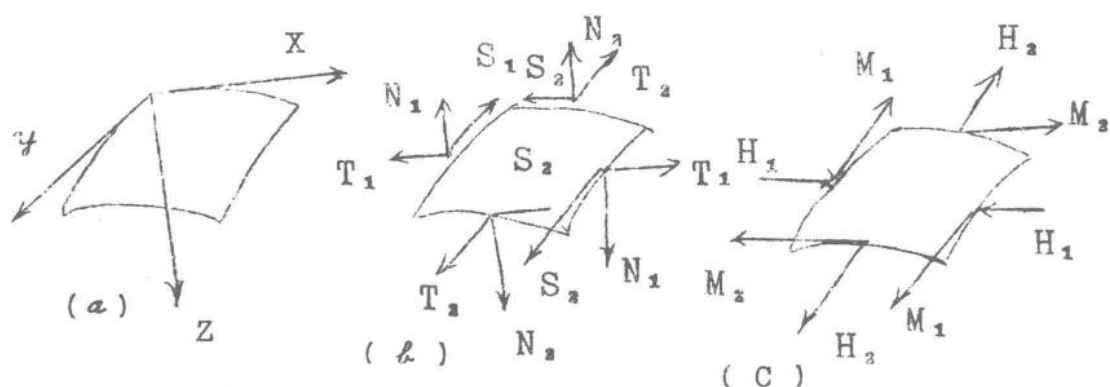


图2

以上各內力和內矩均为相对应的各应力在薄壳微体作用平面內，中面单位长度上之合力和力矩。因而，各內力和內矩可由相对应的应力在中面单位长度的壳体上沿厚度积分則得。如作用在  $Y$   $Z$  平面上之內力和弯矩为：

$$T_1 = \int_{-h/2}^{h/2} \sigma_1 \left( \frac{R_2 - Z}{R_2} \right) dZ = \int_{-h/2}^{h/2} \sigma_1 \left( 1 - \frac{Z}{R_2} \right) dZ \quad (a)$$

$$M_1 = \int_{-h/2}^{h/2} \sigma_1 \left( \frac{R_2 - Z}{R_2} \right) Z dZ = \int_{-h/2}^{h/2} \sigma_1 \left( 1 - \frac{Z}{R_2} \right) Z dZ \quad (b)$$

考虑到薄壳理論中  $Z$  与  $1$  相比可以忽略，則上式可写为內力和內矩与应力間之近似等式。同理，亦可求得作用在其他平面內之內力和內矩。

$$T_1 = \int_{-h/2}^{h/2} \sigma_1 dZ$$

$$T_2 = \int_{-h/2}^{h/2} \sigma_2 dZ$$

$$S_1 = \int_{-h/2}^{h/2} \tau_{12} dZ$$

$$S_2 = \int_{-h/2}^{h/2} \tau_{21} dZ,$$

$$N_1 = \int_{-h/2}^{h/2} \tau_{13} dZ$$

$$N_2 = \int_{-h/2}^{h/2} \tau_{23} dZ$$

$$M_1 = \int_{-h/2}^{h/2} \sigma_1 Z dZ, \quad M_2 = \int_{-h/2}^{h/2} \sigma_2 Z dZ$$

$$H_1 = \int_{-h/2}^{h/2} \tau_{12} Z dZ, \quad H_2 = \int_{-h/2}^{h/2} \tau_{21} Z dZ$$

虽然在壳体理论中，平行於中面的各剪应力仍然是成对而相等的。即为

$$\tau_{12} = \tau_{21} \quad (C)$$

但其平剪力及扭矩实际上是不等的。这是因为当壳体两主曲率不同时，单位中面长度微体的梯形面积在 X 及 Y 方向不同。这是与平钣的结果不同之点。但是对薄壳来说。以上差别与 1 相比可忽略不计，故仍可近似地认为相等即

$$S = S_1 = S_2 = \int_{-h/2}^{h/2} \tau_{12} dZ \quad (1,3a)$$

$$H = H_1 = H_2 = \int_{-h/2}^{h/2} \tau_{21} Z dZ \quad (1,3b)$$

当内力和内矩已知时，则壳体任一点的应力可用以下公式来计算

$$\begin{aligned} \sigma_1 &= \frac{T_1}{h} + \frac{12M_1}{h^3} Z \\ \sigma_2 &= \frac{T_2}{h} + \frac{12M_2}{h^3} Z \\ \tau_{12} &= \frac{S}{h} + \frac{12H}{h^3} Z \end{aligned} \quad (1,4a)$$

由上式可以看出，当  $Z = \pm \frac{h}{2}$  时， $\sigma_1$ 、 $\sigma_2$  及  $\tau_{12}$  为最大或最小。所以，壳体各点应力沿厚度之变化在表面层产生 X 及 Y 方向的最大正应力及最大剪应力。当  $Z = \frac{h}{2}$  或  $Z = -\frac{h}{2}$  时

$$\begin{aligned} \sigma_1 &= \frac{T_1}{h} + \frac{6M_1}{h^2} \\ \sigma_2 &= \frac{T_2}{h} + \frac{6M_2}{h^2} \\ \tau_{12} &= \frac{S}{h} + \frac{6H}{h^2} \end{aligned} \quad (1,4b)$$

### § 1, 5 內力內矩与应变的关系

欲解彈性理論中的問題，必須首先知道应力与应变間的关系。而 这些关系式是利用虎克定律来求得。根據基本假設知：平行於中面各层間之法向应力可以忽略不計。即

$$\sigma_z = 0 \quad (a)$$

因此，平面应力状态的虎克定律可写成

$$\varepsilon_x = \frac{\sigma_1}{E} - \nu \frac{\sigma_2}{E} \quad (b)$$

$$\varepsilon_y = \frac{\sigma_2}{E} - \nu \frac{\sigma_1}{E} \quad (c)$$

由上两式联立解得应力之表达式为

$$\sigma_1 = \frac{E}{1-\nu^2} (\varepsilon_x + \nu \varepsilon_y) \quad (1, 5a)$$

$$\sigma_2 = \frac{E}{1-\nu^2} (\varepsilon_y + \nu \varepsilon_x) \quad (1, 5b)$$

从彈性力学可知  $\tau_{12} = G \gamma_{xy} = \frac{E}{2(1+\nu)} \gamma_{xy}$  (1, 5c)

上式中  $E$  及  $G$  一分别为材料之彈性模数及剪切模数；

$\nu$  一为波桑系数。

若将 (1, 1a) 及 (1, 1b) 式代入 (1, 5a) 式中，則得

$$\sigma_1 = \frac{E}{1-\nu^2} \{ \varepsilon_1 + \nu \varepsilon_2 - Z(\chi_1 + \nu \chi_2) \} \quad (d)$$

再将 (d) 式代入 (1, 2) 式中之  $\sigma_1$ ，积分后則得

$$\begin{aligned} T_1 &= \int_{-h/2}^{h/2} \frac{E}{1-\nu^2} \{ \varepsilon_1 + \nu \varepsilon_2 - Z(\chi_1 + \nu \chi_2) \} dZ \\ &= \frac{E}{1-\nu^2} \left\{ (\varepsilon_1 + \nu \varepsilon_2) Z \Big|_{-h/2}^{h/2} - (\chi_1 + \nu \chi_2) \frac{Z^2}{2} \Big|_{-h/2}^{h/2} \right\} \\ &= \frac{Eh}{1-\nu^2} (\varepsilon_1 + \nu \varepsilon_2) \quad (1, 6a) \end{aligned}$$

同理，可求得所有内力、内矩通过中面应变表示的关系式

$$T_1 = \frac{Eh}{1-\nu^2} (\varepsilon_1 + \nu \varepsilon_2) \quad (1,6a)$$

$$T_2 = \frac{Eh}{1-\nu^2} (\varepsilon_2 + \nu \varepsilon_1) \quad (1,6b)$$

$$S = S_1 = S_2 = \frac{E}{2(1+\nu)} \gamma_{12} \quad (1,6c)$$

$$M_1 = -D (\chi_1 + \nu \chi_2) \quad (1,6d)$$

$$M_2 = -D (\chi_2 + \nu \chi_1) \quad (1,6e)$$

$$H = H_1 = H_2 = -(1-\nu) D \chi_{12} \quad (1,6f)$$

上式中 
$$D = \frac{Eh^3}{12(1-\nu^2)}$$

D常称为抗弯刚度。以上(1,6)各关系式亦称作物理方程。在今后处理应力问题、稳定性问题及振动问题时解稳定静不定方程组是必须用到的。

## 第二章 园柱薄壳应力计算

由於噴气发动机上大多数壳体零件为园柱或可近似地简化为园柱形。因而研究园柱薄壳的应力计算是有实际意义的。在本章里将首先求得园柱薄壳之基本方程式。然后对无矩应力状态、轴对称变形状态及变厚度园柱壳进行具体分析计算。最后对温度变化产生之变形及热应力问题亦将作初步讨论。

### § 2, 1 平衡方程式

从受载园柱壳上切取一微体，其相对座标和各切面上作用的內力和內矩及其方向如（图 3）所示。其中  $R$  为园柱壳半径， $h$  为壳体厚度，通过中面任一点  $O$  的  $X$  轴为母线方向。  $y$  轴为切线方向。  $Z$  轴为按右手座标向心为正壳体任一点  $O$  之位置可由距壳体端之距离及对通过中心线某一定平面的轉角  $\varphi$  来确定。若壳体承受均布外载。其在各方向之单位强度分量  $Q_x, Q_y, Q_z$ 。

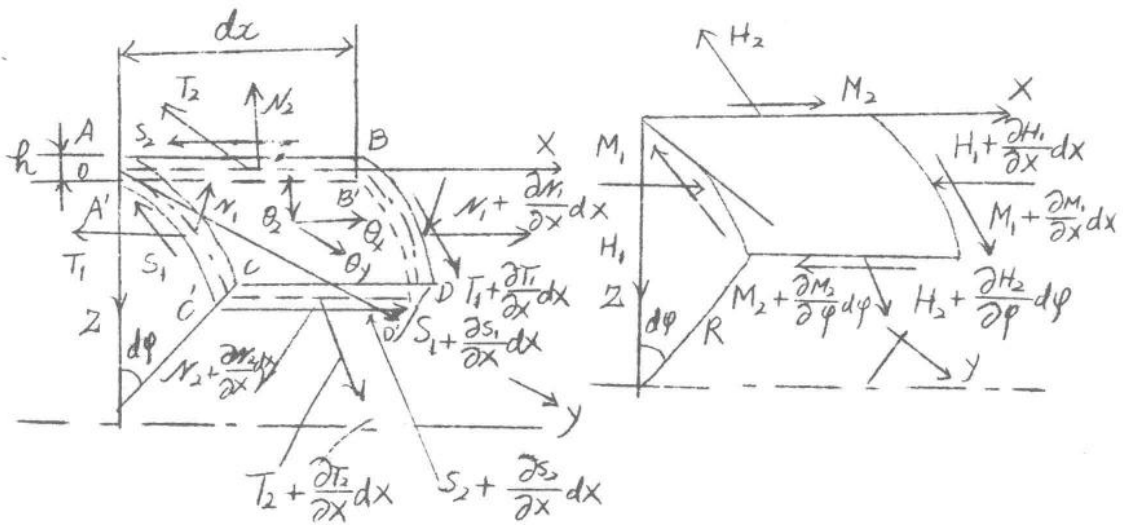


图 3

壳体各点之內力和內矩在一般情况下是不等的，並且认为是連續变化的。如已知切面  $A A' B B'$  上之內力为  $T_2$ ，則轉  $d\varphi$  角后其相邻切面  $C C' D D'$  上之內力可由泰勒定理展成級数而求得：

$$T_2(\varphi_1 + d\varphi) = T_2(\varphi = \varphi_1) + \frac{\partial T_2}{\partial \varphi} d\varphi + \frac{1}{2!} \frac{\partial^2 T_2}{\partial \varphi^2} d\varphi^2 + \dots +$$

$$+ \frac{1}{n!} \frac{\partial^n T_2}{\partial \varphi^n} dz^n + \dots \quad (a)$$

在我們所取的微元体中  $dz$  及  $d\varphi$  均可取为任意小量，因此将上式中以后各高阶项忽略不計，最后則得

$$T_2(\varphi_2 + d\varphi) = T_2 + \frac{\partial T_2}{\partial \varphi} d\varphi \quad (b)$$

同理，可以求得当切面位置变化  $dz$  或  $d\varphi$  上其他各內力和內矩。这些量及其正方向均表示在 (图 3) 上。

当已知微体上作用的內力，內矩和外截荷后，則可在各个方向和繞各軸求內力和內矩之平衡方程式，現在先求在  $x$  軸方向力的平衡，即所有力在  $x$  方向之投影总和应为零：

$$\begin{aligned} & -T_1 R d\varphi + (T_1 + \frac{\partial T_1}{\partial z} dz) R d\varphi - S_2 dz + \\ & + (S_2 + \frac{\partial S_2}{\partial \varphi} d\varphi) dz + Q_x dz R d\varphi = 0 \end{aligned}$$

上式經整理后並各項除以  $dz d\varphi$  則得

$$R \frac{\partial T_1}{\partial z} + \frac{\partial S_2}{\partial \varphi} + R Q_x = 0 \quad (2, 1a)$$

如进一步求在  $y$  和  $z$  方向力的平衡及繞  $x$  軸和  $y$  軸力矩之平衡，則共可得到五个平衡方程式。当求沿壳体切向之平衡关系时，因微体为任意小这时可取为  $\sin d\varphi \approx d\varphi$ ， $\cos d\varphi \approx 1$ 。当求力矩之平衡时，因外力产生之之矩是高阶无穷小，故不考虑外力矩之作用。现将所求得之平衡方程列写如下：

$$R \frac{\partial T_1}{\partial x} + \frac{\partial S_2}{\partial \varphi} + R Q_x = 0 \quad (2, 1a)$$

$$\frac{\partial T_2}{\partial \varphi} + R \frac{\partial S_1}{\partial x} - N_2 + R Q_y = 0 \quad (2, 1b)$$

$$R \frac{\partial N_1}{\partial x} + \frac{\partial N_2}{\partial \varphi} + T_2 + R Q_z = 0 \quad (2, 1c)$$

$$\frac{\partial M_2}{\partial \varphi} + R \frac{\partial H_1}{\partial x} - R N_2 = 0 \quad (2, 1d)$$



$$R \frac{\partial M_1}{\partial x} + \frac{\partial H_1}{\partial \varphi} - R M_2 = 0 \quad (2, 1e)$$

从繞 Z 軸之內矩平衡。除了求得已知之恒等关系  $S_1 = S_2$  外，我們再得不出任何其它新的关系式。必須指出，在求以上各平衡方程时，我們未考慮中面变形对平衡之影响，即所求得之方程为壳体变形前之平衡关系。这对研究壳体应力状态时在工程上是允許的。方程組 (2, 1) 即称为圆柱薄壳之平衡方程。其中有  $T_1, T_2, S_1, S_2, N_1, N_2, M_1, M_2, H_1, H_2$  共 10 个未知数，如考虑到  $S = S_1 = S_2$  及  $H = H_1 = H_2$  的关系，仍有 8 个未知数。但只有五个方程式。故为靜不定問題。欲解此方程式必須利用壳体变形之关系式。

### § 2, 2 位移与变形的关系

从壳体的基本概念及应变关系式 (1, 1) 可知：壳体的幾何形状由其厚度变化及中面之形状而确定，並且欲知壳体任一点之应变只須知道中面之应变及其曲率变化后則可求得。在这节里将研究中面变形与位移之关系。若命  $u, V, W$  分別表示壳体中面任一点 A 之位移。中面应变及曲率变化仍採用以前之符号，切取壳体中面之微体 ABCD 如 (图 4) 所示，則其应变可求得如下：

微体中面在 X 方向之正应变：

因壳体变形是連續的，沿 X 軸方向之位移 A 点为  $u$ ，而 B 点則为

$$u + \frac{\partial u}{\partial x} dx \quad \text{因而微体沿 X 軸方向之变形为：}$$

$$u + \frac{\partial u}{\partial x} dx - u = \frac{\partial u}{\partial x} dx \quad (a)$$

故壳体中面 A 点在 X 方向之正应变为：

$$\epsilon_1 = \frac{\partial u}{\partial x} \quad (2, 2a)$$

微体中面在 y 方向之正应变

中面 A 点沿 y 方向之位移为  $v$ 。而 D 点位移为  $v + \frac{\partial v}{\partial \varphi} d\varphi$  因而，由於位

移  $v$  之变化在 y 方向产生之正应变：